

Б. И. ОБМОИН, Н. К. МОРОЗ, И. А. ВЕЛИЦКИЙ

ИССЛЕДОВАНИЕ ВРАЩЕНИЯ МОЛЕКУЛ В ТВЕРДОЙ  
*d*-КАМФАРЕ МЕТОДОМ Я.М.Р. ПРИ ВЫСОКИХ ДАВЛЕНИЯХ

(Представлено академиком В. С. Соболевым 26 III 1971)

Известно, что в *d*-камфаре при атмосферном давлении имеется фазовый переход около 243° К. При увеличении температуры ромбическая модификация переходит в кубическую (¹). Этот переход совпадает по температуре с появлением молекулярного вращения, что показано измерением диэлектрической проницаемости (²), а также исследованием методом я.м.р. (³). Бриджмен (⁴) изучил  $P - T$ -диаграмму *d*-камфары в интервале температур 273—473° К до давления 50 000 кГ/см². Из сопоставления его данных с результатами работы (¹) можно заключить, что переход из кубической модификации в ромбическую при комнатной температуре происходит примерно при 2700 кГ/см². При этом же давлении следует ожидать и резкого затормаживания вращения, если вращение «глобулевых» молекул в *d*-камфаре характерно лишь для кубической модификации. В работе (⁵) методом я.м.р. исследовалось влияние давления на вращение молекул при 300° К. Однако в ней отсутствуют какие-либо данные о фазе, в которой молекулы неподвижны, а давление, при котором начинается переход (5000 кГ/см²) почти в два раза превышает давление, найденное Бриджменом при этой температуре.

В настоящей работе методом я.м.р. детально исследовано влияние высокого гидростатического давления на вращение молекул при комнатной температуре (295° К). Измерения проводились в бомбе, показанной на рис. 1. Давление создавалось путем приложения усилия пресса к штоку 1, а через него к поршню 4 с О-образным уплотнением. Обтюратор 8, поджимаемый гайкой 9, также имеет О-образное уплотнение. Поршень и обтюратор имеют по одному электроводу 5, представляющему собой конус с изоляцией из чертежной кальки. На поршне крепится манганиновый манометр 6, а на обтюраторе смонтирована высокочастотная катушка 7, в которую помещается исследуемый образец. Вторые концы высокочастотной катушки и манганинового манометра выведены на корпус. Наружный диаметр бомбы 27 мм, диаметр рабочего канала равен 10 мм. Все детали бомбы изготовлены из облагороженной бериллиевой бронзы марки БР-Б2. Только шток 1 сделан из термообработанной стали ХВГ. После создания давления стальной шток 1 вынимается и бомба помещается между плюсами электромагнита в спектрометре. В такой бомбе при комнатной температуре многократно создавалось давление до 10 000 кГ/см². Преимуществом данной конструкции перед описанными в (⁵, ⁶) является малый наружный диаметр бомбы, что позволяет проводить исследования в серийных радиоспектрометрах.

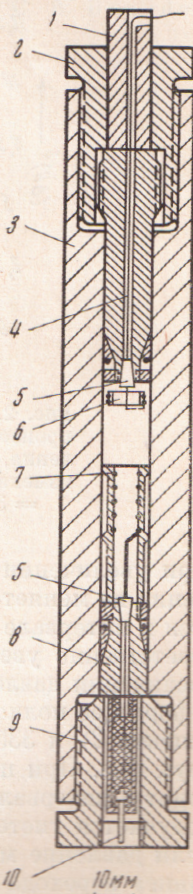


Рис. 1. Бомба высокого давления.  
1 — шток, 2 — гайка, 3 — корпус, 4 — поршень, 5 — электровод, 6 — манганиновый манометр, 7 — высокочастотная катушка, 8 — обтюратор, 9 — гайка, 10 — высокочастотный разъем

Я.м.р. наблюдался на протонах на частоте около 16 МГц. В качестве беспротонной среды, передающей давление, использовался сероуглерод. Чтобы изолировать образцы от сероуглерода, из камфоры спрессовали таблетки, которые помещали в тонкостенный стаканчик из фторопластика. Открытый конец стаканчика закрывали фторопластовой пробкой и заваривали. Такая ампула оставалась герметичной во всем диапазоне рабочих давлений.

Количество примесей в *d*-камфоре по данным газовой хроматографии не превышало 0,1%.

В правой части рис. 2 показано изменение первой производной линии поглощения я.м.р. при температуре 295° К в зависимости от давления.

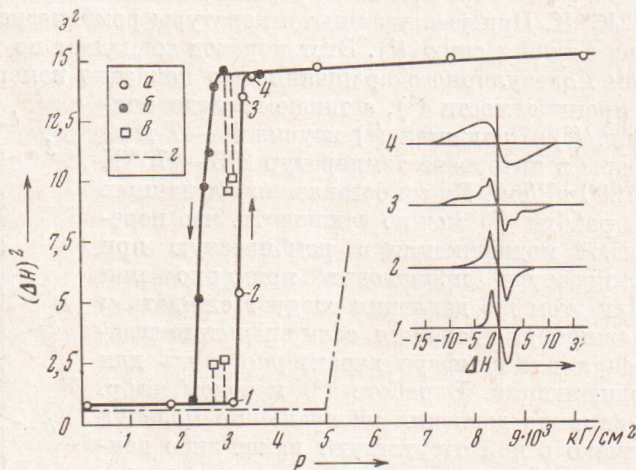


Рис. 2. Влияние давления на второй момент и первую производную линии поглощения. *a* — при увеличении давления, *b* — при уменьшении давления, *c* — при быстром изменении давления, *2* — данные работы <sup>(2)</sup>.  $1 - P = 3050 \text{ кГ/см}^2$ ,  $2 - 3250$ ,  $3 - 3350$ ,  $4 - 3550 \text{ кГ/см}^2$

При увеличении давления от атмосферного до 3200 кГ/см<sup>2</sup> линия поглощения не меняется (спектр 1). Резкое изменение ширины линии наблюдается в интервале давлений 3200—3400 кГ/см<sup>2</sup>, второй момент при этом соответственно увеличивается от  $0,8 \pm 0,1$  до  $14 \pm 1 \text{ э}^2$ . При дальнейшем увеличении давления до 10 300 кГ/см<sup>2</sup> линия незначительно расширяется, а форма ее полностью соответствует спектру 4. При давлениях 3250 кГ/см<sup>2</sup> (спектр 2) и 3350 кГ/см<sup>2</sup> (спектр 3) отчетливо видно сосуществование двух фаз. При понижении давления уменьшение второго момента происходит в интервале 2750—2300 кГ/см<sup>2</sup>. При медленном изменении давления получается гистерезис, показанный на рис. 2 сплошной толстой линией. Если давление меняется сравнительно быстро, то происходит «инициирование» перехода (точки *b*). Следовательно, можно предположить, что для данного фазового перехода возможны как «переохлаждение», так и «перегрев» по давлению и их величина зависит от скорости изменения последнего.

Давление, при котором происходит «вращательный переход», хорошо согласуется с данными Бриджмена <sup>(4)</sup>, но значительно отличается от результатов работы <sup>(5)</sup>, которые показаны на рис. 2 штрих-пунктирной линией. Теоретическое значение второго момента для *d*-камфоры с жесткой решеткой и врачающимися метильными группами равно  $13 \text{ э}^2$  <sup>(3)</sup>. В нашем эксперименте при давлении 10 300 кГ/см<sup>2</sup> величина второго момента равна  $15 \pm 1 \text{ э}^2$ . Это расхождение, по-видимому, связано с дополнительным вкладом во второй момент за счет межмолекулярных взаимодействий.

Авторы выражают благодарность Д. С. Мириńskому за внимание к работе, Э. В. Матизену и И. Е. Паукову за обсуждение результатов, С. М. Жидко и Б. Д. Зильберману за помощь при проведении экспериментов.

Институт неорганической химии  
Сибирского отделения Академии наук СССР

Поступило  
22 III 1971

Институт геологии и геофизики  
Сибирского отделения Академии наук СССР  
Новосибирск

#### ЦИТИРОВАННАЯ ЛИТЕРАТУРА

- <sup>1</sup> Физика и химия твердого состояния органических соединений, М., 1967.  
<sup>2</sup> W. A. Yager, S. O. Morgan, J. Am. Chem. Soc., **57**, 11, 2071 (1935). <sup>3</sup> J. E. Anderson, W. P. Slichter, J. Chem. Phys., **41**, 7, 1922 (1964). <sup>4</sup> P. W. Bridgeman, Proc. Am. Acad. Arts. Sci., **72**, 6, 258 (1938). <sup>5</sup> Z. Pajak, J. Klimowski, R. Goc, Magnet. Resonance and Relaxat., Amsterdam, 1967. <sup>6</sup> C. B. Benedek, Magnetic Resonance at High Pressure, N. Y., 1963.